

Також у цьому аналізі потрібно вести довідник основних показників господарської діяльності підприємств і установ (наприклад, розмір основних виробничих фондів повинен бути приблизно однаковим для одного й того самого підприємства упродовж тривалого часу). Відхилення віднижньої чи верхньої межі інтервалу довір'я для аналізу має єдине тлумачення — подана інформація недостовірна.

Використана література:

1. Айвазян С.А. Статистическое исследование зависимостей. М., 1968;
2. Рябушкин Т.В. Теория и методы экономической статистики. М., 1977.

Стаття надійшла до редколегії 1.03.96

УДК 539.3:538.54

O.P. Гачкевич, О.М. Дзюбачик, М.Т. Солодяк

Визначення гістерезисного тепла у феритах при індукційному нагріванні

Відомо [1,5], що в деяких феритах (наприклад, з прямокутною петлею гістерезису) внаслідок великого омічного опору майже не виникають індукційні струми, і отже, практично не виділяється джоулеве тепло. Проте такі тіла характеризуються великим тангенсом кута втрат або великим тепловиділенням при перемагнічуванні, знаходження якого є метою даної роботи.

Нехай на поверхні (S) тіла підтримується напруженість зовнішнього магнітного поля

$$\bar{H}^{(0)}(\vec{r}_0, t) = \bar{H}_0(\vec{r}_0) \cos \omega t. \quad (1)$$

Зауважимо, що для даного випадку амплітуда $\bar{H}_0(\vec{r})$ мало змінюється всередині тіла (глибинне нагрівання). Тут \vec{r} ; \vec{r}_0 — радіус-вектори даної точки тіла і розглядуваної точки поверхні відповідно; $\omega = 2\pi\nu$; ν — частота; t — час.

Питому густину гістерезисного тепла, що виникає внаслідок перемагнічування, після усереднення за періодом коливань електромагнітної хвилі $T = 1 / \nu$ зобразимо [3,4] у вигляді

$$Q = \nu \oint \vec{H} \cdot d\vec{B} = \nu \int_0^T \vec{H} \cdot \frac{\partial \vec{B}}{\partial t} dt. \quad (2)$$

Крапкою між величинами позначено скалярний добуток векторів. Гістерезисну залежність між індукцією \vec{B} і напруженістю \vec{H} магнітного поля будуємо таким чином. Приймемо, що ці вектори паралельні, тобто

$$\vec{B} = B(H) \vec{e}_H, \quad (3)$$

де $\vec{e}_H = \frac{\vec{H}}{H}$ — одиничний орт у напрямі вектора \vec{H} ; H і B — проекції векторів \vec{H} і \vec{B} на додатний напрям вектора \vec{H} . Зауважимо, що в такому наближенні виконується співвідношення $\vec{H} \cdot \vec{B} = HB$ і формула (2) також справедлива відповідно для проекцій розглядуваних величин.

Нелінійну залежність $B = B(H)$ описуватимемо динамічною петлею гістерезису. Аналітичний вираз такої петлі при періодичній у часі напруженості магнітного поля можна записати таким чином [3]:

$$B = \mu_0 \left(\sqrt{1 - \chi^2} H - \frac{\chi}{\omega} \frac{\partial H}{\partial t} \right) + \beta \operatorname{arctg} \alpha \left(\sqrt{1 - \chi^2} H - \frac{\chi}{\omega} \frac{\partial H}{\partial t} \right), \quad (4)$$

де $\beta = \frac{2}{\pi} B_S$; $\alpha = (\mu - 1)\mu_0/\beta$; $\chi = H_c/H_m$ при $H < H_m$ і $\chi = H_c/H_0$ при $H > H_m$; H_c — коерцитивна сила; H_m — напруженість магнітного поля, що відповідає гістерезисному насиченню; μ_0 — магнітна стала; μ — початкова відносна магнітна проникність матеріалу; B_S — величина індукції насичення. У випадку $\chi = 0$ співвідношення (4) описує основну криву намагнічування, що апроксимує залежність для магнітом'яких матеріалів [2], у яких відсутнє гістерезисне тепло.

Підставляючи залежність (4) у формулу (2) і враховуючи при цьому співвідношення (1) і (3), вираз для тепловиділення зображаємо як

$$Q = 2\pi\nu^2 H_0^2 \left[I_1 + (\mu - 1)I_2 \right]. \quad (5)$$

Тут

$$I_1 = \int_0^T dt \cos \omega t \left(\chi \cos \omega t - \sqrt{1 - \chi^2} \sin \omega t \right); \quad (6)$$

$$I_2 = \int_0^T \frac{dt \cos \omega t \left(\chi \cos \omega t - \sqrt{1 - \chi^2} \sin \omega t \right)}{1 + \epsilon \left(\sqrt{1 - \chi^2} \cos \omega t + \chi \sin \omega t \right)^2}, \quad (7)$$

$\epsilon = \sqrt{\alpha H_0}$ --- параметр нелинейности [2].

Зауважимо, що інтеграл I_1 обчислюється елементарно і дорівнює

$$I_1 = \frac{1}{2} T \chi. \quad (8)$$

Для знаходження другого інтеграла I_2 скористаємося методикою обчислення означеніх інтегралів за допомогою лішків. Для цього зробимо заміну змінної інтегрування, увівши комплексну змінну z , зв'язану зі змінною t співвідношенням $z = e^{i \omega t}$. При зміні t від 0 до T комплексна змінна пробігає замкнений контур — коло $|z| = 1$ в додатному напрямку. Таким чином, інтеграл (7) переходить в інтеграл по замкнутому контуру від функції комплексної змінної:

$$I_2 = \frac{k}{\epsilon \omega} \oint_{|z|=1} \frac{dz \left[z^4 - (k^2 - 1)z^2 - k^2 \right]}{z \left[z^4 + \frac{2(\epsilon + 2)}{\epsilon} k^2 z^2 + k^4 \right]}, \quad (9)$$

де $k \equiv \sqrt{1 - \chi^2} + i \chi$.

Особливими точками підінтегральної функції є нулі знаменника:

$$z_0 = 0, \quad z_1 = \frac{ik}{\sqrt{\epsilon}} \sqrt{\epsilon + 2 - 2\sqrt{\epsilon + 1}}, \quad z_2 = -z_1, \quad z_3 = -\frac{k^2}{z_1} \quad i$$

$z_4 = \frac{k^2}{z_1}$, які є полюсами першого порядку. Оскільки $|z_1| < 1$, то

точки z_0, z_1 і z_2 лежать всередині круга $|z| = 1$. Розкладши підінтегральну функцію на прості множники, а також скориставшись основною теоремою теорії лішків [6], отримаємо у кінцевому результатах для I_2

$$I_2 = \frac{T\chi}{1 + \sqrt{1 + \varepsilon}}. \quad (10)$$

Підставивши формули (8) і (10) у спiввiдношення (5), матимемо вираз для гiстерезисного тепла:

$$Q = \pi v \mu_0 H_0^2 \chi \left[1 + \frac{2(\mu - 1)}{1 + \sqrt{1 + \varepsilon}} \right]. \quad (11)$$

Якщо величина магнiтного поля є меншою за характерну для феромагнiтних тiл, тобто $H_0 < H_S = B_S / \mu_0 \approx 10^6 A / m$, то в залежностi (4) нехтуємо першим членом порiвняно з другим [1,4,5]. Враховуючи спiввiдношення (1), залежнiсть (4) для даного наближення подаємо у виглядi

$$b \approx \frac{\mu}{\sqrt{\varepsilon}} \operatorname{arctg} \sqrt{\varepsilon} \left(\sqrt{1 - \chi^2} \cos \omega t + \chi \sin \omega t \right), \quad (12)$$

де $b = B / \mu_0 H_0$ — безрозмiрна iндукцiя магнiтного поля.

У такому наближеннi у формулi (11) для тепловидiлень аналогiчно знeхтуємо одиницею порiвняно з другим членом. Тодi з виразу (11) отримаємо для вiдносного гiстерезисного тепла спiввiдношення

$$q = \frac{Q}{2 \pi v \mu \mu_0 H_0^2} = \frac{\chi}{1 + \sqrt{1 + \varepsilon}}. \quad (13)$$

Аналiз числових дослiдженiй виконано для сплаву ЮДНК 4, для якого $H_c = 0,55 \cdot 10^5 A / m$, $H_m = 2,4 \cdot 10^5 A / m$, $B_r = 1,2 Tl$, $\mu = 151$, $B_S = 1,4 Tl$.

Рис. 1 iлюструє залежнiсть iндукцiї вiд напруженостi магнiтного поля, яка описана формuloю (12), для значень $H_0 = 10^3 A / m$, $H_0 = 10^5 A / m$, $H_0 = 10^7 A / m$ (вiдповiдно кривi 1-3); рис. 2 — залежнiсть гiстерезисного тепла q вiд амплiтуди магнiтного поля на поверхнi H_0 .

Аналiз отриманих результатiв свiдчить, що зi збiльшенням H_0 до величини H_m ширина петлi гiстерезису є постiйною, а вiдноснi тепловидiлення q майже не залежать вiд H_0 . При $H_0 > H_m$ ширина петлi зменшується обернено пропорцiйно до H_0 , а величина q — за законом $1 / \sqrt{H_0}$.

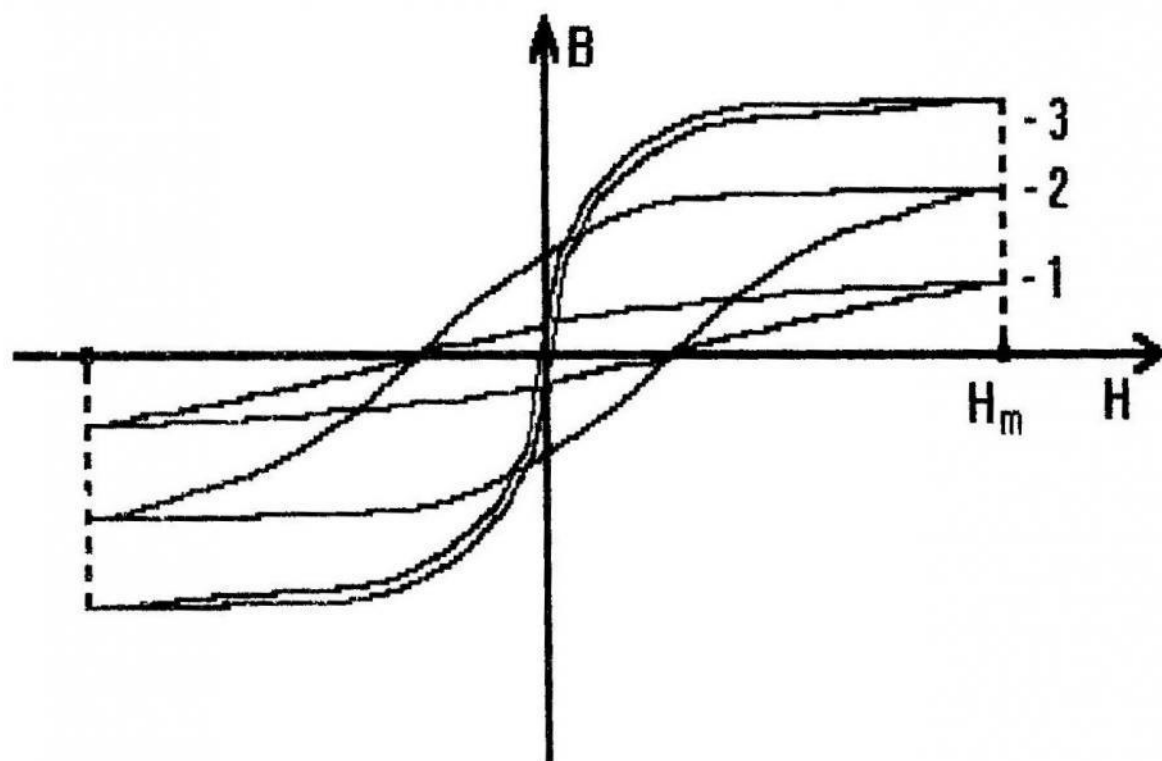


Рис. 1

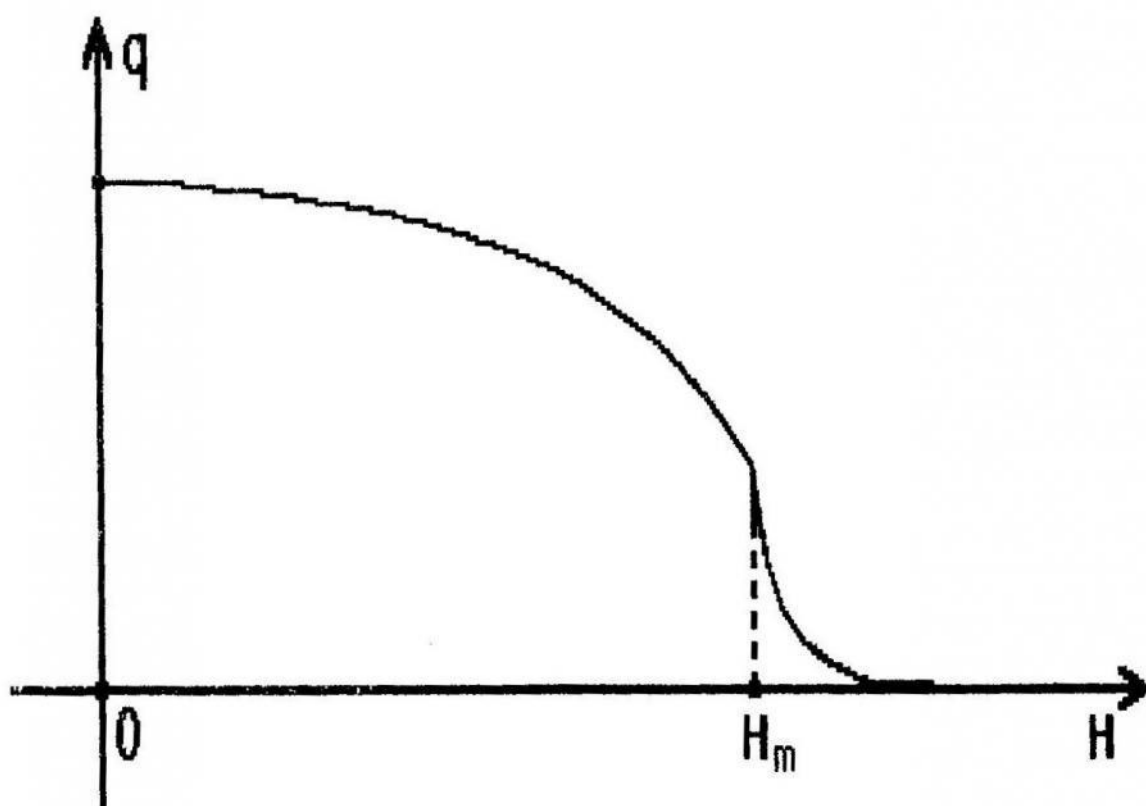


Рис. 2

1. Б о р о в и к Е . С ., М ильнер А . С ., Е р е м е н к о В . В . Лекции по магнетизму. Харьков: Изд-во Харьков. ун-та, 1972. 248 с. 2. Б у р а к Я . Й ., Г а ч к е в и ч О . Р ., С о л о д я к М . Т . Термопружність електропровідних магнітом'яких тіл у зовнішніх усталених електромагнітних полях // Доп. АН УРСР. Сер. А. 1987. № 2. С. 43-47. 3. Б у р а к Я . Й ., Г а ч к е в и ч О . Р ., С о л о д я к М . Т . Термопружність електропровідних магнітотвердих тіл у зовнішніх усталених електромагнітних полях // Доп. АН УРСР. Сер. А. 1988. № 5. С. 25-28. 4. Г а ч к е в и ч А . Р ., С о л о д я к М . Т . Термомеханіческое поведение слоя при воздействии гармонического электромагнитного поля // Прикл. механика. 1989. Т. 25, № 12. С. 93-101. 5. М и ш и н Д . Д . Магнитные материалы. М.: Высш. шк., 1981. 335 с. 6. С в е ш н и к о в А . Г ., Тихонов А . Н . Теория функций комплексной переменной. - М.: Наука, 1967. - 304 с.

Стаття надійшла до редколегії 27.02.96

УДК 519.6:539.3

І.І.Дияк

Симетрична скінченно-гранично-елементна апроксимація D-адаптивної моделі теорії пружності

У роботах [4,5,6] для дослідження пружно-деформованого стану просторових конструкцій запропоновано D-адаптивні моделі теорії пружності. Чисельне дослідження таких моделей проведено на основі застосування методу скінчених елементів (МСЕ) [6] та комбінованої скінченно-гранично-елементної апроксимації [5]. Застосування методу Гальоркіна до розв'язання задачі теорії пружності на основі прямого методу граничних елементів (ПМГЕ) у формі [1,5,11] приводить до несиметричної матриці результуючої системи лінійних алгебраїчних рівнянь. Вперше варіант симетричного об'єднання МСЕ та ПМГЕ був запропонований у роботі [7]. В останні роки симетричний варіант МГЕ, який вимагає використання граничних інтегральних рівнянь з гіперсингулярними ядрами — об'єкт широкого кола досліджень як теоретичних, так і практичних застосувань [9,10,12,13].

Розглядається змішана крайова задача теорії пружності [2]:

$$\Delta^* \mathbf{u} = \mu \Delta \mathbf{u} + (\lambda + \mu) \operatorname{grad}(\operatorname{div} \mathbf{u}) = 0, \quad \mathbf{x} \in \Omega, \quad (1)$$